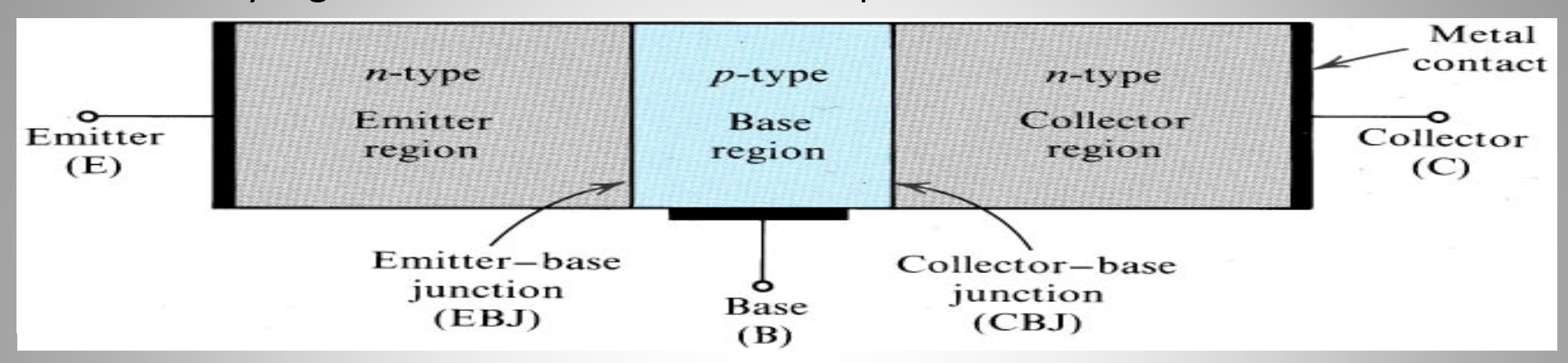
ELEKTRONIKA DASAR

Pertemuan Ke-4
Bipolar Junction Transistor (BJT)

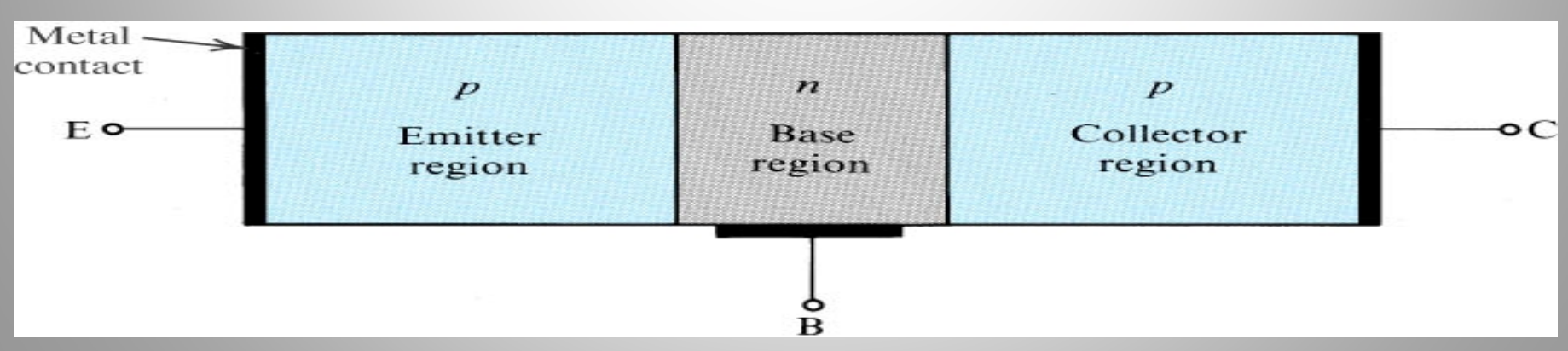
ALFITH, S.Pd,M.Pd

Stuktur divais dan cara kerja fisik

Struktur yang Disederhanakan dan Mode Operasi



Gambar 1. Struktur sederhana transistor npn

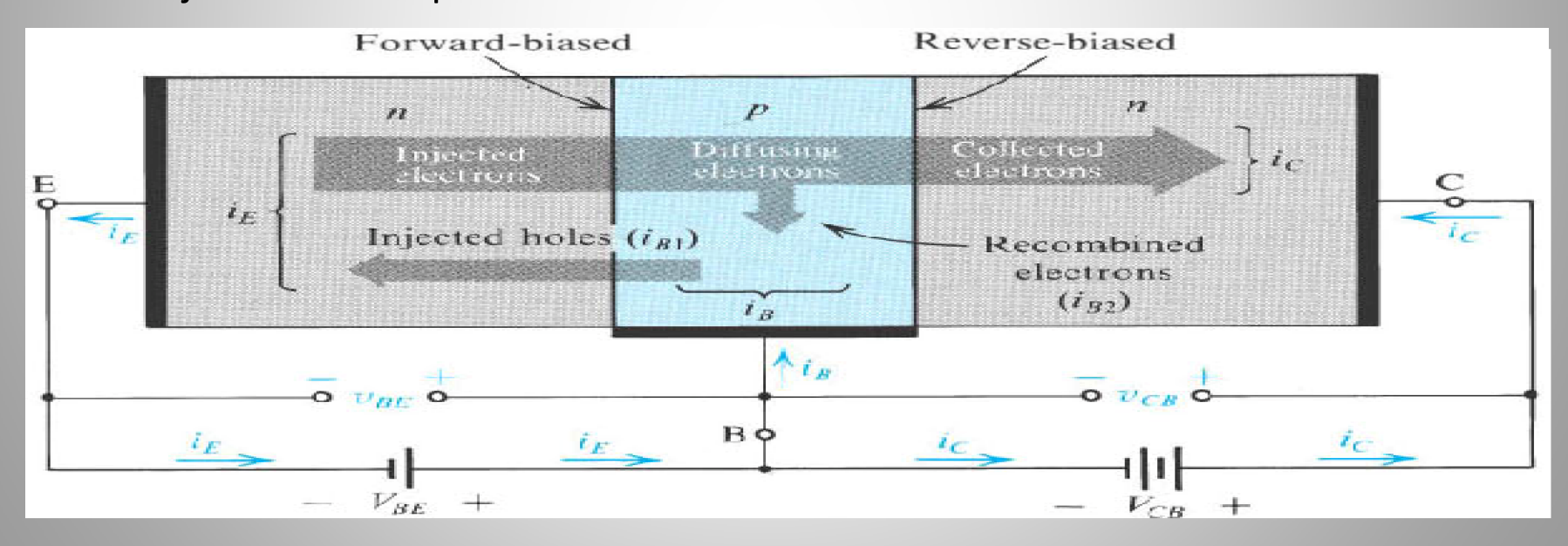


Gambar 2. Struktur sederhana transistor pnp

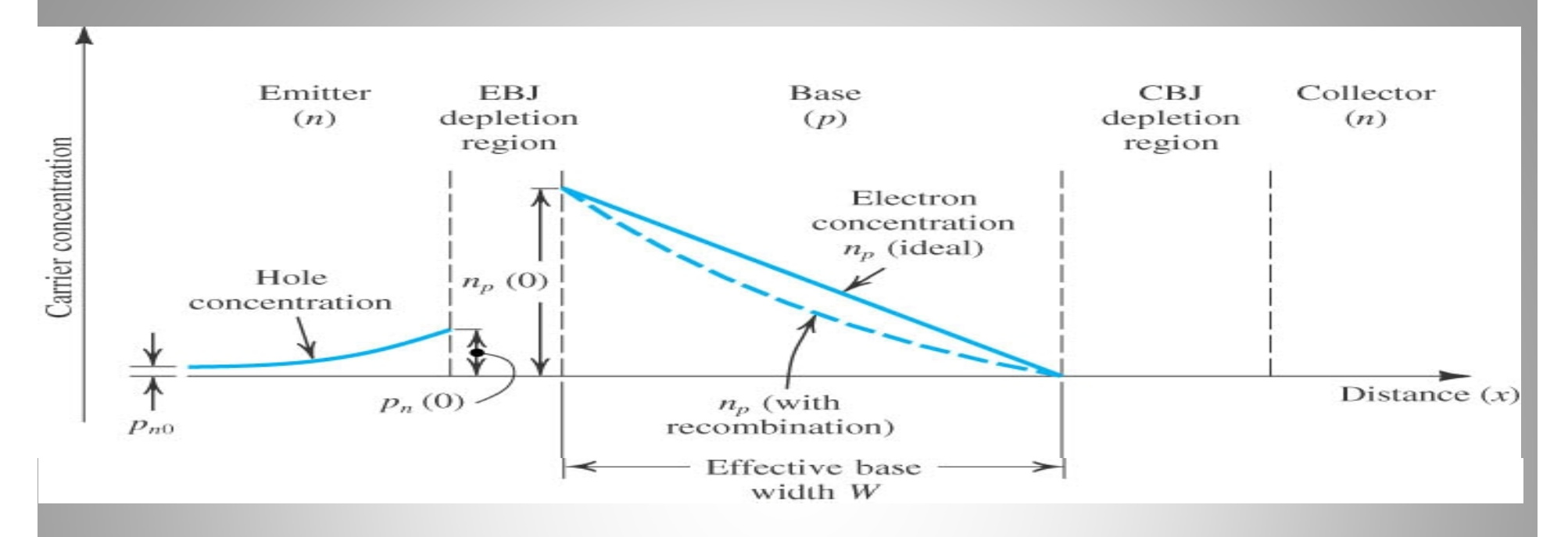
Mode kerja BJT

Mode	EBJ	СВЈ
Cutoff	Reverse	Reverse
Active	Forward	Reverse
Reverse Active	Reverse	Forward
Saturation	Forward	Forward

Cara Kerja Transistor npn Pada Mode Aktif



Gambar 3: Aliran arus pada transistor npn pada mode aktif



Gambar 4: Profil pembawa muatan minioritas pada base dan emitter pada transistor npn yang bekerja pada mode aktif.

$$n_{p}(0) = n_{p}e^{VBE}/VT$$

 $n_p(0)$ = konsentrasi pembawa muatan minoritas (elektron) pada base v_{BE} = tegangan forward bias base-emitter V_T = tegangan termal 25 mV pada suhu ruangan.

Pengurangan pembawa muatan minoritas menyebabkan elektron yang disuntikkan ke base akan merembas melalui base ke collector. Arus elektron ini sebanding dengan koefisien arah dari profil konsentrasi

$$I_{n} = A_{E} qD \qquad {n \over dx}$$

$$= A_{E} qD \qquad {n \over (0)} \left(-\frac{n_{p}(0)}{W} \right)$$

 A_E = luas penampang base-emitter junction q = muatan elektron D_n = kemampuan difusi elektron pada base W = lebar efektif base

Tanda (-) menunjukkan bahwa arah arus I_n adalah dari kanan ke kiri (arah x negatif).

Arus Collector
$$A = I_{s} e^{-v = E - I_{s} T}$$

$$n_{p \mid 0} = n_{i}^{2} / N_{A}$$

$$I_{s} = \frac{A_{E} qD_{n} n_{i}^{2}}{N_{A} W}$$

 n_i = kerapatan pembawa instrinsik N_A = konsentrasi doping pada base

Perhatikan: arus i_C tidak tergantung dari v_{CB} .

Arus jenuh I_S berbanding terbalik dengan lebar base W. I_S sebanding dengan luas penampang EBJ \rightarrow scale current.

I_s mempunyai harga antara 10⁻¹⁸ A sampai 10⁻¹² A.

 I_s sebanding dengan n_i^2 yang merupakan fungsi suhu, kira-kira menjadi dua kali setiap kenaikan suhu 5°C

Arus Base

Terdiri dari i_{B1} yang disebabkan oleh holes yang disuntikkan dari base ke emitter dan i_{B2} yang disebabkan oleh holes yang dicatu dari rangkaian luar untuk menggantikan holes yang hilang akibat proses rekombinasi

$$i_{B 1} = \frac{A_E qD_p n_i^2}{N_D L_p} e^{-v_{BE} / V_T}$$

 D_p = kemampuan difusi holes di emitter

 L_p = panjang difusi holes di emitter

 \dot{N}_D = konsentrasi doping di emitter

$$i_{B} = \frac{Q}{\tau_b}$$

 $_{\rm b}$ = waktu rata-rata bagi sebuah elektron (minoritas) ber-rekombinasi dengan sebuah holes (mayoritas) di base. (disebut minority-carrier lifetime) $Q_{\rm n}$ = muatan pembawa minoritas yang ber-rekombinasi dengan holes pada waktu $_{\rm b}$

Pada gambar (4) Q_n digambarkan dengan luas segitiga di bawah distribusi garis lurus pada base Q_n digambarkan dengan luas segitiga di bawah distribusi

$$Q_{n} = \frac{A_{E} qWn}{2N_{A}} = \frac{\frac{2}{1}}{2N_{A}} e^{-\frac{1}{2} R_{p}} e^{-\frac{1}{2} R_{p}}$$

adalah suatu konstanta untuk transistor tertentu.

Untuk transistor *npn*, harga berkisar antara 50 – 200. Untuk divais khusus bisa mencapai 1000.

disebut penguatan arus common-emitter.

dipengaruhi oleh: lebar dari daerah base, W, dan perbandingan doping daerah base dan daerah emitter (N_A/N_D) .

Arus Emitter =
$$i_{c} + i_{B}$$

 $i_{E} = \frac{\beta + 1}{\beta} i_{C}$
 $i_{E} = \frac{\beta + 1}{\beta} I_{S} e^{-V_{BE}} I_{V_{T}}$
 $i_{C} = \alpha i_{E}$
 $\alpha = \frac{\beta}{\beta + 1}$
 $i_{E} = (I_{S} / \alpha) e^{-V_{BE}} I_{V_{T}}$
 $\beta = \frac{\alpha}{1 - \alpha}$

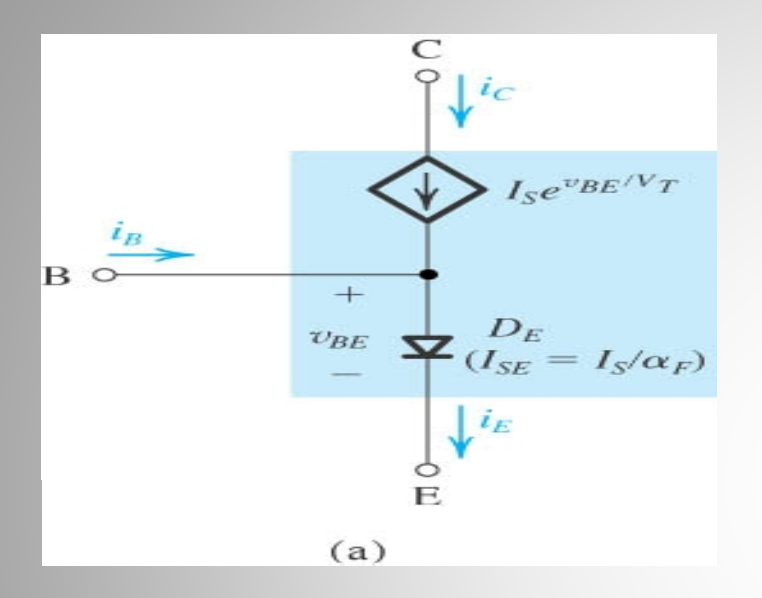
1

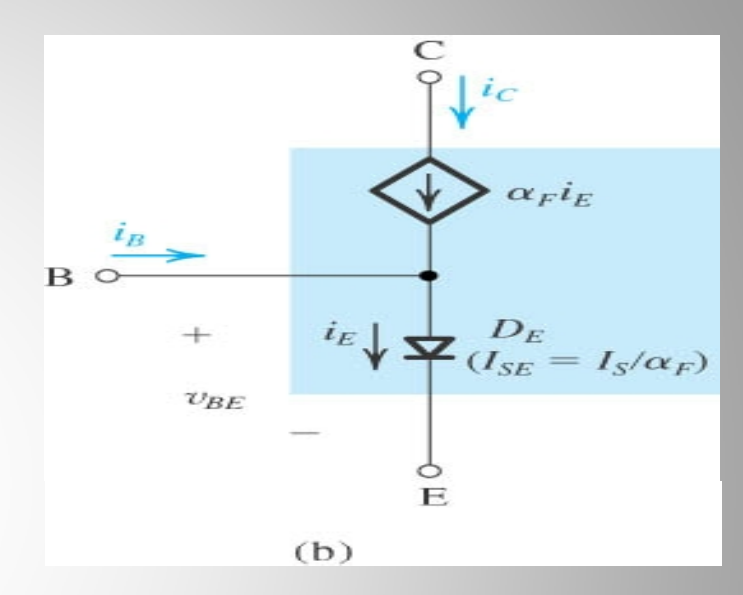
Perubahan yang kecil pada menyebabkan perubahan yang besar pada . disebut penguatan arus common-base.

Karena dan menunjukkan karakteristik transistor yang bekerja pada mode 'forward active', kadang dituliskan sebagai _F dan _F.

Rekapitulasi dan Model Rangkaian Pengganti

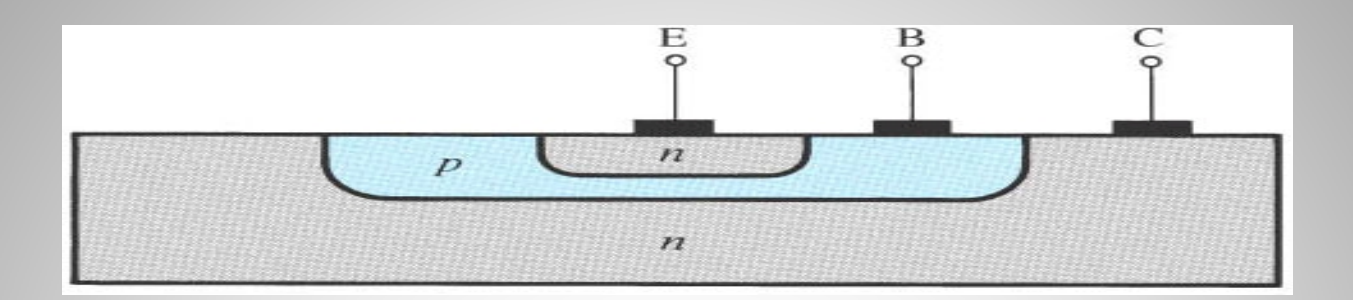
- •Tegangan forward bias v_{BE} menyebabkan arus i_C mengalir ke collector mempunyai hubungan eksponensial.
- •Arus i_C tidak tergantung dari tegangan v_{CB} selama CBJ reverse bias, v_{CB}
- •Pada mode aktif, collector berkelakuan seperti sebuah sumber arus ideal yang konstan di mana harga arus ditentukan oleh v_{RF} .
- $\bullet i_B = 1/_E \times i_C$
- $\bullet i_E = i_B + i_C$
- •Karena $i_B << i_C$ i_E i_C
- $\bullet i_E = F \times i_C$
- _F 1





Gambar 5: Model rangkaian pengganti sinyal besar untuk BJT *npn* yang bekerja pada mode forward active.

Struktur Transistor

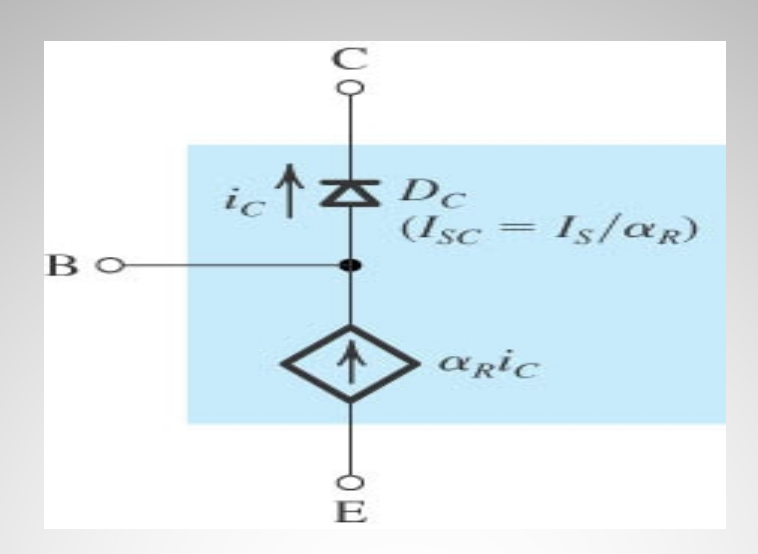


Gambar 6. Tampak melintang sebuah BJT jenis npn

Collector mengelilingi emitter sehingga sulit untuk elektron yang disuntikkan ke base yang tipis untuk tidak terkumpul pada collector $_F$ 1 dan $_F$ besar.

Divais tidak simetris berarti jika collector dan emitter ditukar dan transistor bekerja pada mode *reverse active*, $= _R$ dan $= _R$ yang mempunyai harga yang berbeda dengan $_F$ dan $_F$.

Karena divais dirancang untuk bekerja optimum pada mode forward active, $_R << _F$ dan $_R << _F$ berkisar antara 0,01 – 0, 5 dan $_R$ berkisar antara 0,01 – 1.



Gambar 7: Model transistor *npn* yang bekerja pada mode reverse active.

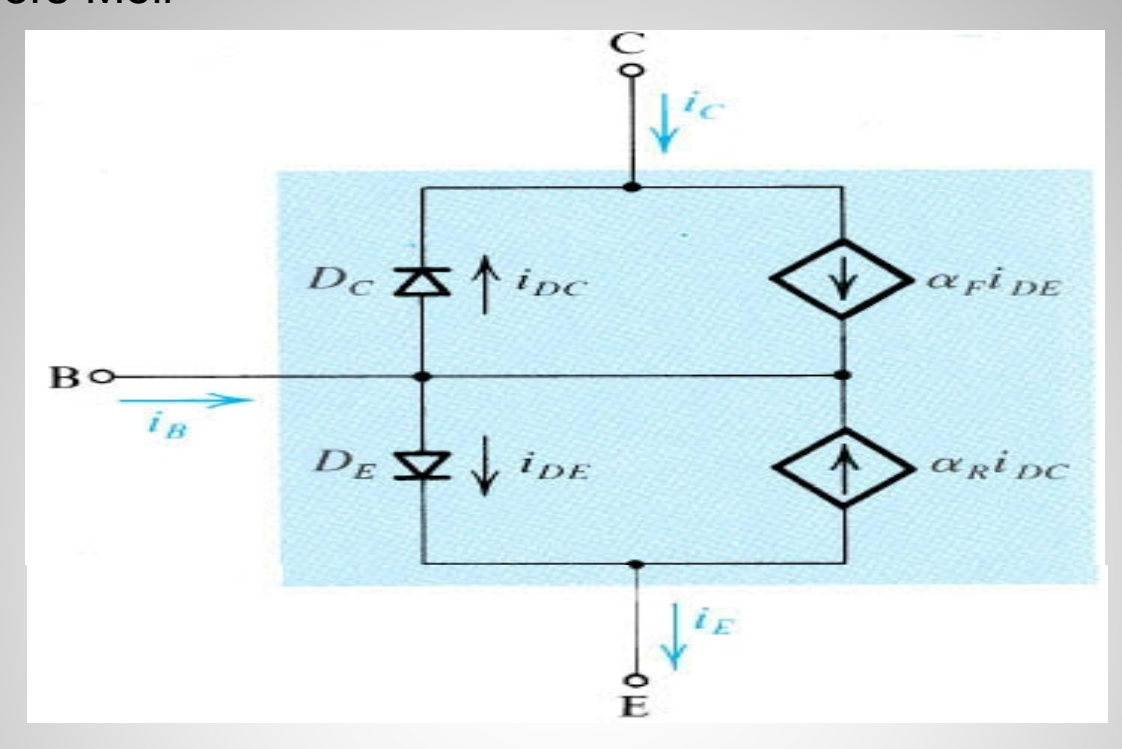
Struktur pada gambar (6) terlihat bahwa CBJ mempunyai luas yang lebih besar dari EBJ.

Pada gambar 7 dioda D_C menunjukkan CBJ yang mempunyai arus skala I_{SC} >> arus skala I_{SE} dari dioda D_E . Kedua arus ini berbanding lurus dengan luas junction

$$_{F}I_{SE} = _{R}I_{SC} = I_{S}$$

 I_{SC} yang besar mempunyai dampak bahwa untuk arus yang sama, CBJ mempunyai penurunan tegangan yang lebih kecil jika di-bias maju daripada penurunan tegangan maju pada EBJ, V_{BE}

Model Ebers-Moll



Gambar 8: Model Ebers – Moll dari transistor npn

$$i_{E} = i_{DE} - {}_{R}i_{DC}$$
 $I_{C} = -I_{DC} + {}_{F}i_{DE}$
 $I_{B} = (1 - {}_{F})i_{DE} + (1 - {}_{R})i_{DC}$

$$i_{DE} = I_{SE} \left(e^{V_{BE} N_T} - 1 \right)$$

$$i_{DC} = I_{SC} \left(e^{V_{BC} N_T} - 1 \right)$$

$$i_{E} = \left(\frac{I_{S}}{\alpha_{F}} \right) \left(e^{V_{BE} N_T} - 1 \right) - I_{S} \left(e^{V_{BC} N_T} - 1 \right)$$

$$i_{C} = I_{S} \left(e^{V_{BE} N_T} - 1 \right) - \left(\frac{I_{S}}{\alpha_{R}} \right) \left(e^{V_{BC} N_T} - 1 \right)$$

$$i_{B} = \left(\frac{I_{S}}{\beta_{F}} \right) \left(e^{V_{BE} N_T} - 1 \right) + \left(\frac{I_{S}}{\beta_{R}} \right) \left(e^{V_{BC} N_T} - 1 \right)$$

$$\beta_{F} = \frac{\alpha_{F}}{1 - \alpha_{F}}$$

$$\beta_{R} = \frac{\alpha_{R}}{1 - \alpha_{R}}$$

Penggunaan pertama dari model EM adalah untuk memperkirakan arus pada terminal dari transistor yang bekerja pada mode forward active. v_{BE} positif antara 0,6 – 0,8 V dan v_{BC} negatif.

e v kecil dan dapat diabaikan

$$i_{E} \cong \left(\frac{I_{S}}{\alpha_{F}}\right) e^{V_{BE}} \stackrel{N_{T}}{\longrightarrow} + I_{S} \left(1 - \frac{1}{\alpha_{F}}\right)$$

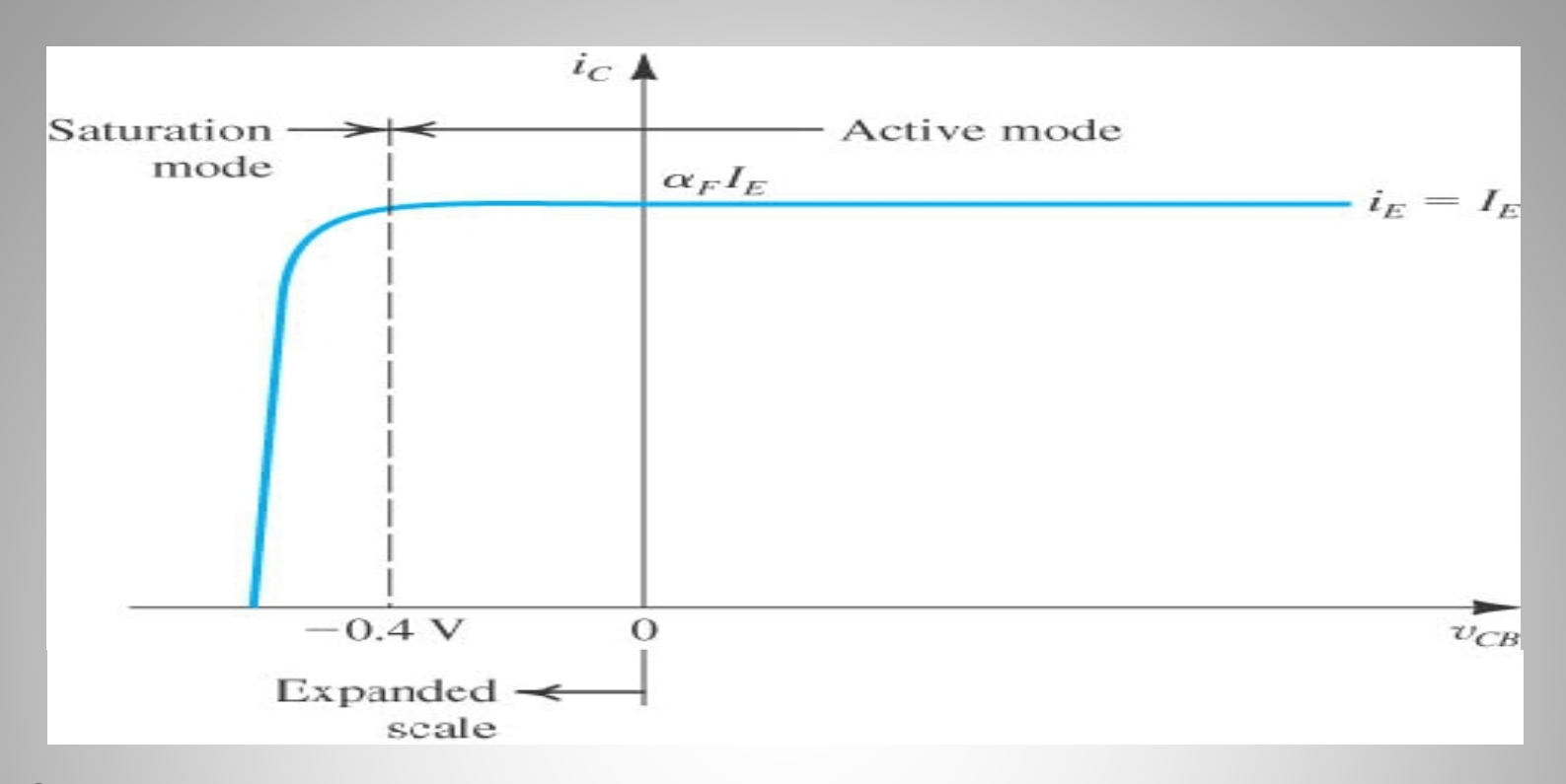
$$i_{C} \cong I_{S} e^{V_{BE}} \stackrel{N_{T}}{\longrightarrow} + I_{S} \left(\frac{1}{\alpha_{R}} - 1\right)$$

$$i_{B} \cong \left(\frac{I_{S}}{\beta_{F}}\right) e^{V_{BE}} \stackrel{N_{T}}{\longrightarrow} - I_{S} \left(\frac{1}{\beta_{F}} + \frac{1}{\beta_{R}}\right)$$

Dari ketiga persamaan di atas, suku kedua dapat diabaikan.

Selama ini, kondisi untuk cara kerja mode forward active adalah v_{CB} 0 agar CBJ dalam keadaan reverse bias. Pada kenyataannya, sebuah pn junction tidak dalam keadaan forward bias jika tegangannya tidak melebihi kira-kira 0,5 V.

Jadi cara kerja transistor npn pada mode forward active masih tetap bisa dicapai bila v_{CB} turun sampai mencapai – 0.4 V.



Gambar 9: Karakteristik $i_C - v_{CB}$ dari transistor npn yang dicatu dengan arus I_E yang tetap.

Pada gambar 9 terlihat, arus i_C tetap konstan pada $_{\it F}i_{\it E}$ untuk $v_{\it CB}$ sampai – 0,4 V

Di bawah harga ini,CBJ akan 'on' dan meninggalkan mode forward active memasuki daerah kerja mode jenuh, di mana i_C menurun.

Cara Kerja pada Mode Jenuh

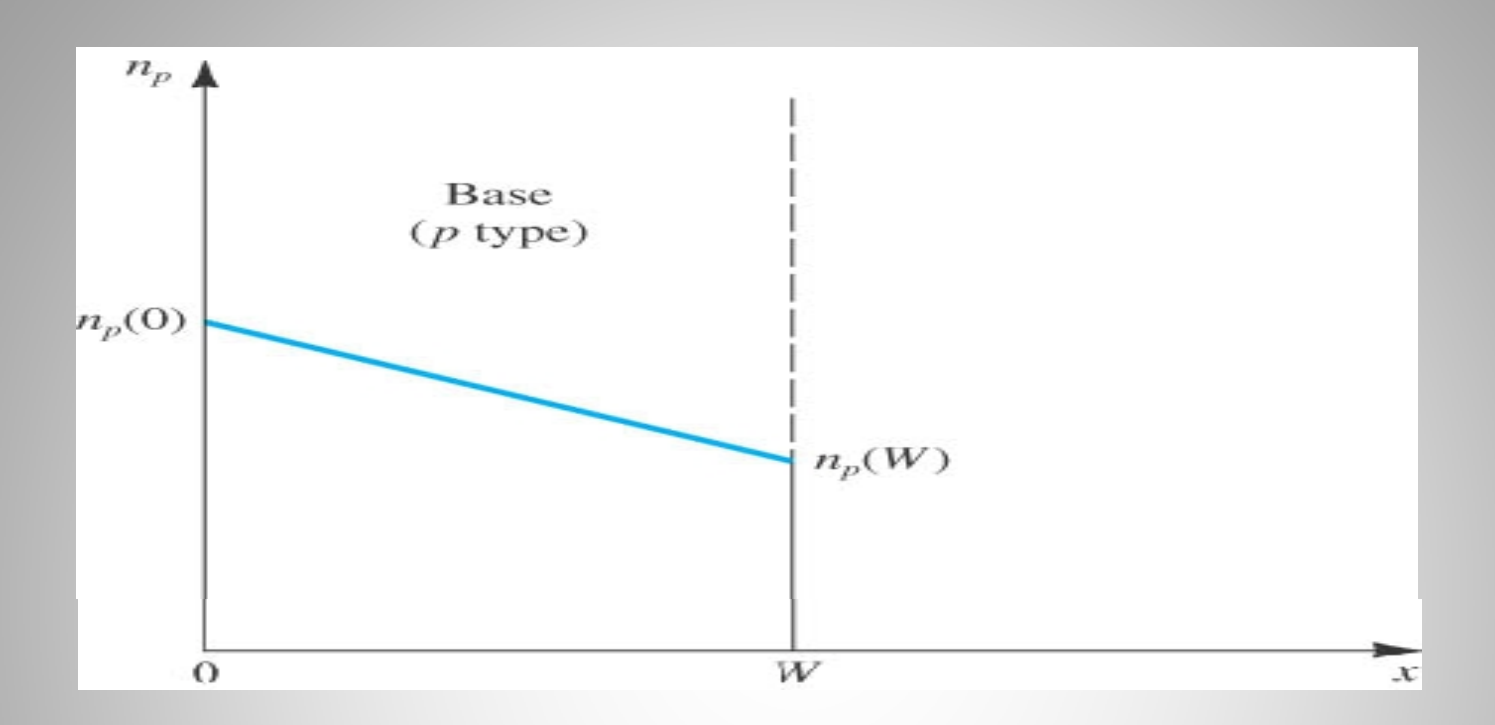
Pada gambar 9 terlihat jika v_{CB} berkurang sampai di bawah -0.4 V, BJT memasuki cara kerja mode jenuh.

Pada keadaan ideal, dalam mode forward active, v_{CB} tidak mempengaruhi i_C , tetapi pada mode jenuh, dengan meningkatnya v_{CB} ke arah negatif, i_C berkurang.

$$i_{C} = I_{S} e^{V_{BE} N_{T}} - \left(\frac{I_{S}}{\alpha_{R}}\right) e^{V_{BC} N_{T}}$$

Suku pertama adalah hasil dari forward-biased EBJ, dan suku kedua adalah hasil dari forward-biased CBJ.

Jika v_{BC} melebihi 0,4 V, i_C akan berkurang dan akhirnya mencapai nol.

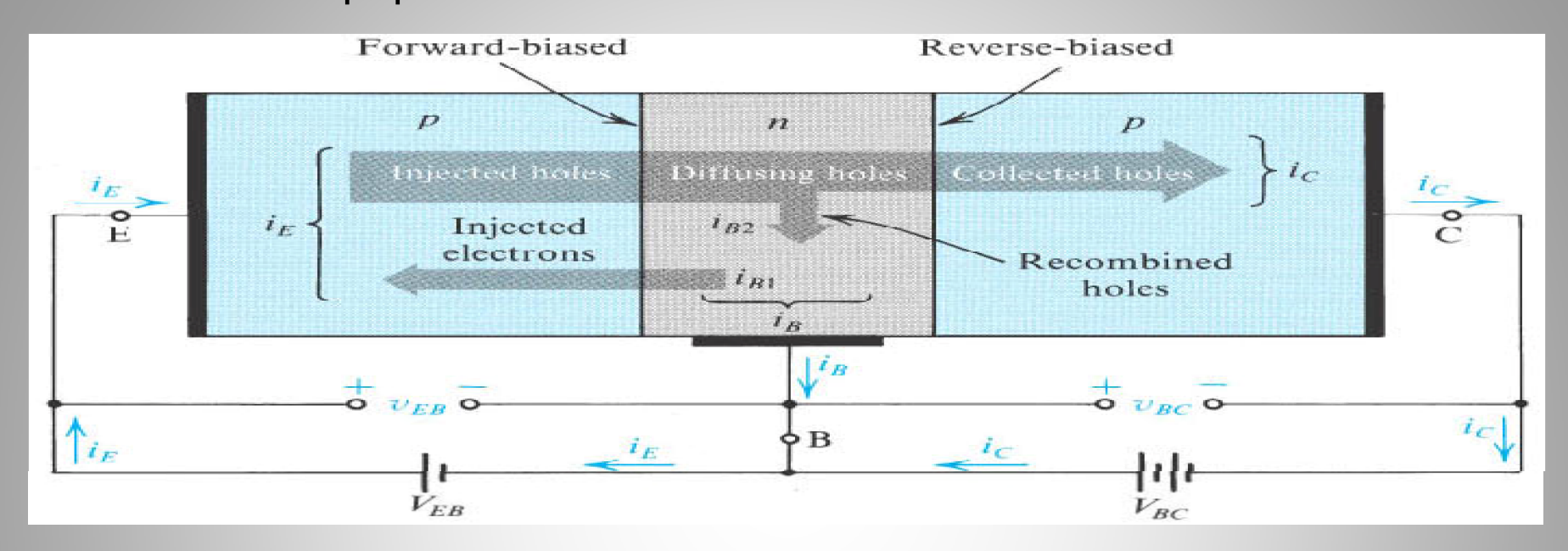


Gambar 10: Profil konsentrasi pembawa muatan minoritas (elektron) pada base dari sebuah transistor *npn*

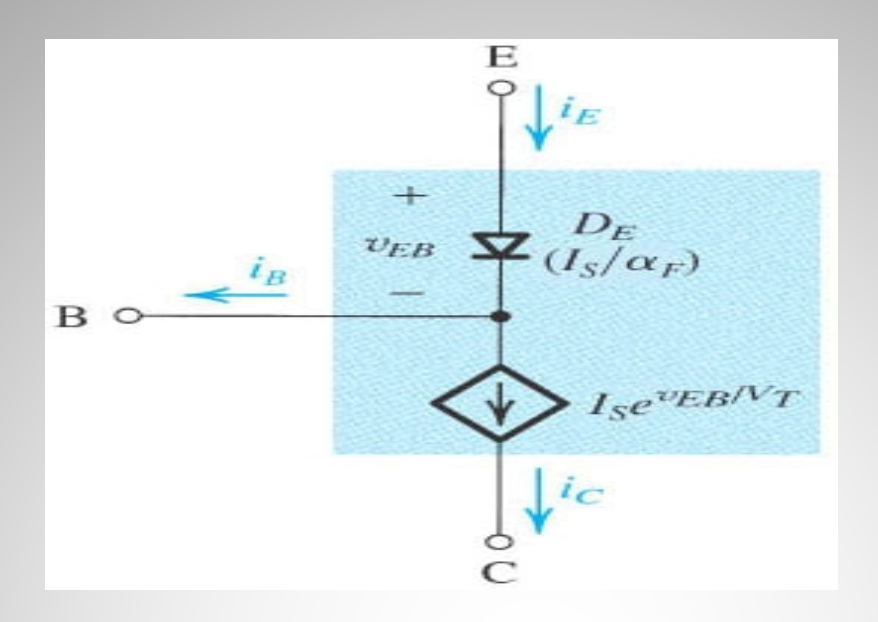
Karena CBJ forward biased, konsentrasi elektron pada sisi collector tidak nol, tapi sebanding dengan

Koefisien arah dari profil konsentrasi sebanding dengan pengurangan $i_{\mathbb{C}}$

Transistor pnp



Gambar 11: Aliran arus pada transistor *pnp* untuk bekeja pada mode forward active.



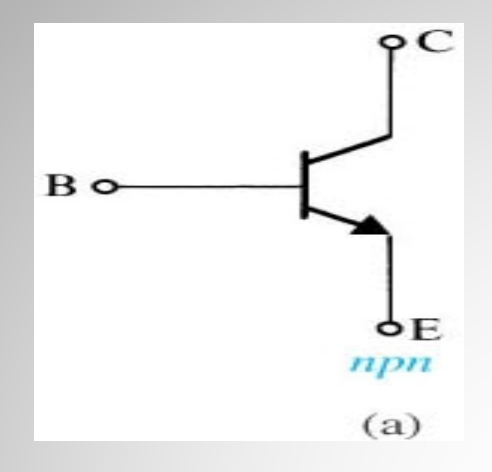
Gambar 12: Model sinyal besar untuk transistor *pnp* yang bekerja pada mode aktif.

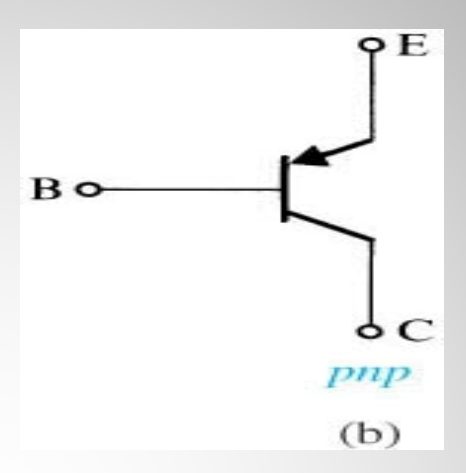
Hubungan arus – tegangan pada transistor pnp sama dengan pada transistor npn hanya v_{BE} diganti dengan v_{EB} .

Gambar 12 menunjukkan rmodel angkaian pengganti sinyal besar, yang juga mungkin digantikan dengan sumber arus yang dikendalikan sumber arus, CCCS, $_{F}i_{F}$.

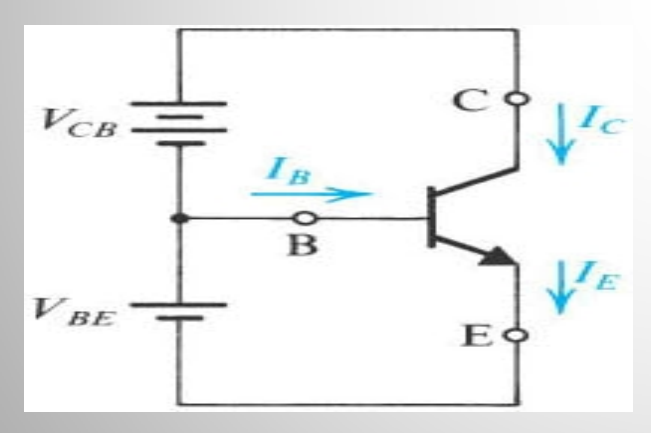
Transistor pnp dapat bekerja pada mode jenuh seperti pada transistor npn

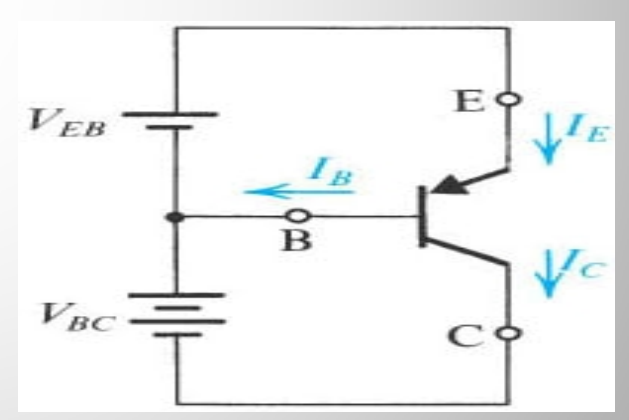
Karakteristik Arus – Tegangan





Gambar 13: Simbol rangkaian BJT





Gambar 14: Polaritas tegangan dan aliran arus dalam transistor yang di bias dalam mode aktif

Ringkasan hubungan arus - tegangan dari BJT pada mode aktif

$$i_{C} = I_{S} e^{V_{BE}} / V_{T}$$

$$i_{B} = \frac{i_{C}}{\beta} = \left(\frac{I_{S}}{\beta}\right) e^{V_{BE}} / V_{T}$$

$$i_{E} = \frac{i_{C}}{\alpha} = \left(\frac{I_{S}}{\alpha}\right) e^{V_{BE}} / V_{T}$$

Catatan: untuk transistor pnp, gantilah v_{BE} dengan v_{EB}

$$i_{c} = \alpha i_{E}$$

$$i_{B} = (1 - \alpha) i_{E} = \frac{i_{E}}{\beta + 1}$$

$$i_{C} = \beta i_{B}$$

$$\beta = \frac{\alpha}{\alpha - 1}$$

$$i_{E} = (\beta + 1) i_{B}$$

$$\alpha = \frac{\beta}{\beta + 1}$$

 V_T = tegangan termal = kT/q 25 mV pada suhu kamar

Konstanta n

Untuk BJT, konstanta *n* mendekati satu kecuali pada kasus tertentu:

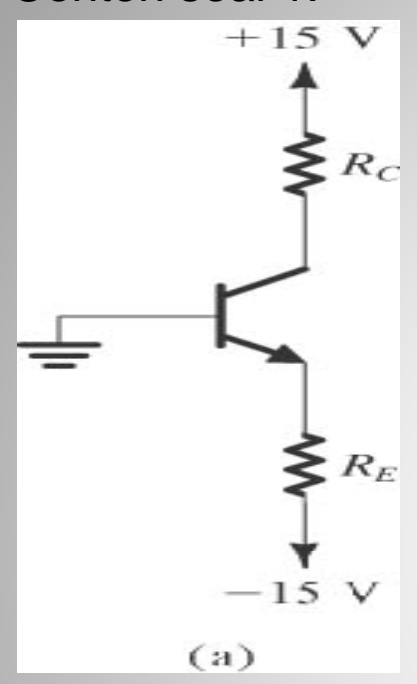
- pada arus yang tinggi, hubungan $i_C v_{BE}$ menunjukkan harga n mendekati 2
- pada arus yang rendah, hubungan $i_B v_{BE}$ menunjukkan harga n mendekati 2

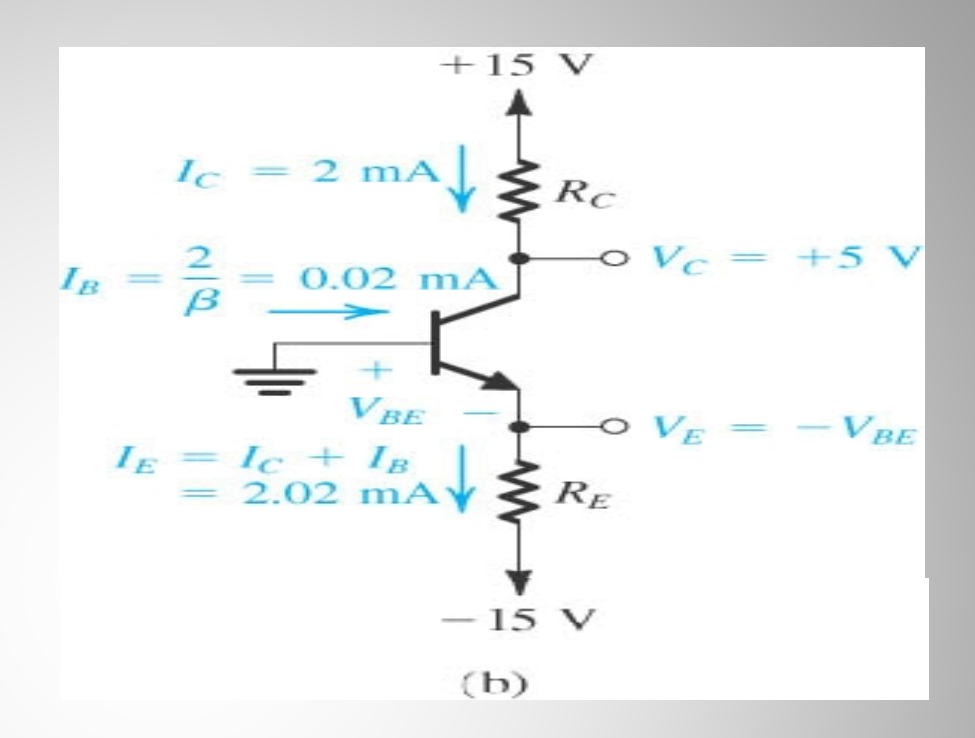
Jika tidak disebutkan *n*=1

Arus balik collector – base (I_{CBO})

Adalah arus balik dari collector menuju base dengan emitter hubung terbuka. Arus ini mempunyai harga dalam orde nanoamper. I_{CBO} mempunyai komponen arus bocor, dan harganya tergantung dari v_{CB} . I_{CBO} sangat tergantung pada suhu, rata-rata harganya menjadi dua kali lipat dengan kenaikan 10° C.

Contoh soal 1:





Gambar 15: Rangkaian untuk contoh soal 1

Transistor pada gambar (15.a) mempunyai = 100 dan v_{BE} = 0,7 V pada i_C =1mA.

Rancanglah rangkaian sehingga arus 2 mA mengalir melalui collector dan tegangan pada collector = +5 V

Jawab:

$$V_C$$
 = 5 V CBJ reverse bias BJT pada mode aktif V_C = 5 V V_{RC} = 15 - 5 = 10 V I_C = 2 mA R_C = 5 k

 $v_{BE} = 0.7 \text{ V pada } i_C = 1 \text{ mA}$ harga v_{BE} pada $i_C = 2 \text{ mA}$:

$$V_{BE} = 0,7 + \ln \left(\frac{2}{1}\right) = 0,717$$
 $V_{B} = 0$ $V_{E} = -0,717$ $V_{E} = 0$

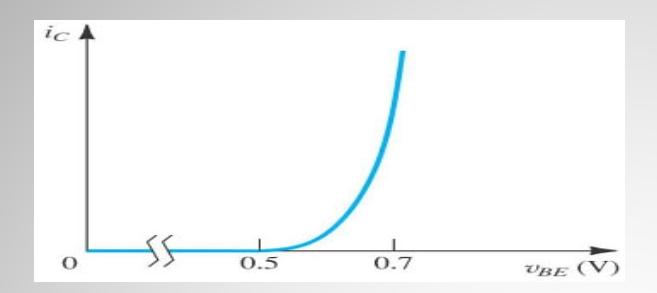
$$= 100$$
 $= 100/101 = 0.99$ $= 2.02$ mA

Harga R_F diperoleh dari:

$$R_{E} = \frac{V_{E} - (-15)}{I_{E}}$$

$$= \frac{-0,717}{2,02} + 15 = 7,07 k Ω$$

Penampilan Grafis dari Karakteristik Transistor



Gambar 16: Karakteristik $i_C - v_{BF}$ dari sebuah transistor npn

$$i_{c} = I_{s} e^{V_{BE} / V_{T}}$$

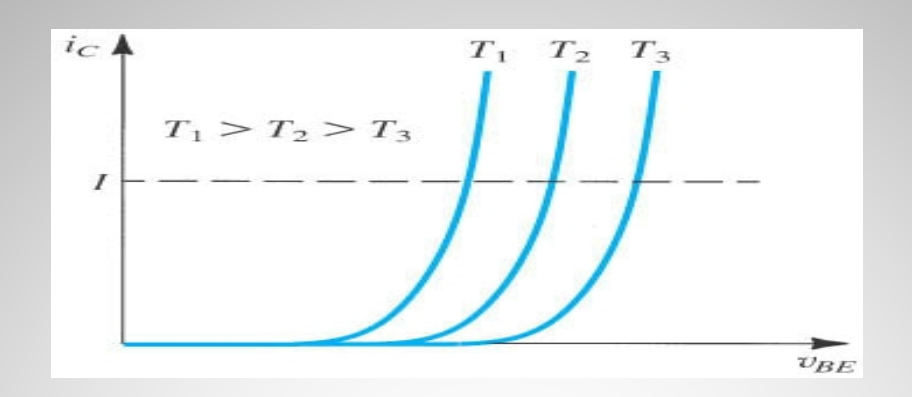
Karakteristik $i_C - v_{BF}$ identik dengan karakteristik i - v pada dioda.

Karakteristik $i_E - v_{BE}$ dan $i_B - v_{BE}$ juga exponensial dengan I_S yang berbeda: I_S untuk i_E dan I_S untuk i_B .

Karena konstanta dari karakteristik ekponensial, $1/V_T$, cukup tinggi (40), kurva meningkat sangat tajam.

Untuk v_{BE} < 0,5 V, arus sangat kecil dan dapat diabaikan. Untuk harga arus normal, v_{BE} berkisar antara 0,6 V – 0,8 V. Untuk perhitungan awal, v_{BE} = 0,7 V.

Untuk transistor pnp, karakteristik i_C - v_{BE} tampak identik, hanya v_{BE} diganti dengan v_{EB} .



Gambar 17: Pengaruh suhu pada karakteristik $i_C - v_{BE}$

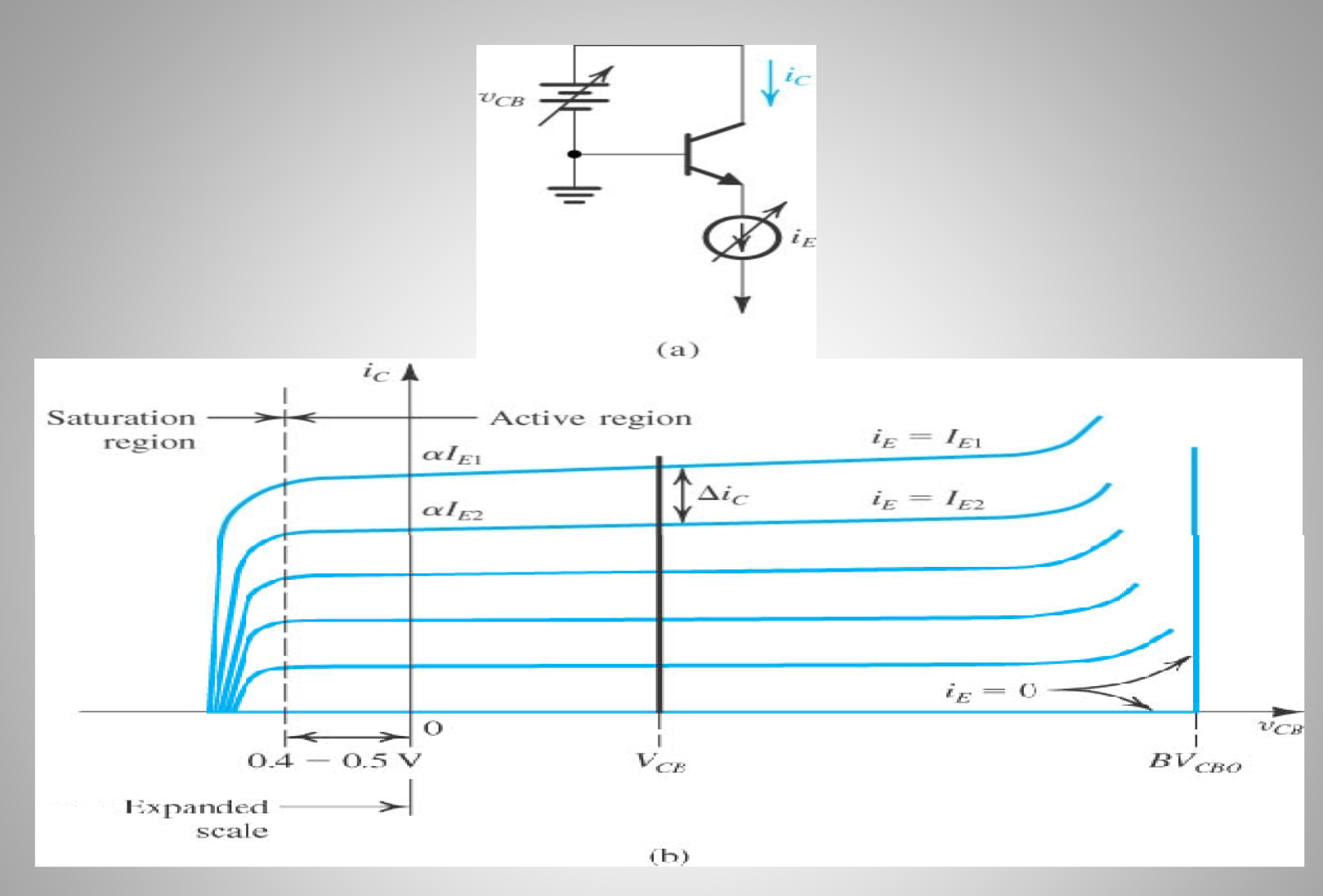
Seperti pada dioda silikon, tegangan pada junction base - emitter menurun 2 mV untuk setiap kenaikan suhu 1°C pada arus yang tetap.

Karakteristik Common – Base

Gambar (18.a) menunjukkan cara kerja BJT dengan membuat kurva $i_C - v_{CB}$ dengan i_F yang berbeda.

Pada pengukuran ini tegangan base tetap dan base berperan sebagai terminal bersama (common) masukan dan keluaran.

Jadi kurva ini disebut juga kurva karakteristik common – base



Gambar 18: karakteristik $i_C - v_{CB}$ dari sebuah transistor npn

Dalam daerah aktif, $v_{CB} \ge -0.4$ V, kurva $i_C - v_{CB}$ berbeda dengan yang diharapkan karena:

- Kurva tidak tidak datar tapi menunjukkan koefisien arah yang positif. Hal ini disebabkan adanya ketergantungan i_c terhadap v_{cg}
- Pada harga v_{CB} yang relatif besar, i_{C} meningkat dengan cepat, karena terjadinya 'breakdown'

Pada gambar (18.b), setiap kurva karakteristik memotong sumbu vertikal pada harga arus = αI_F (I_F konstan untuk setiap kurva).

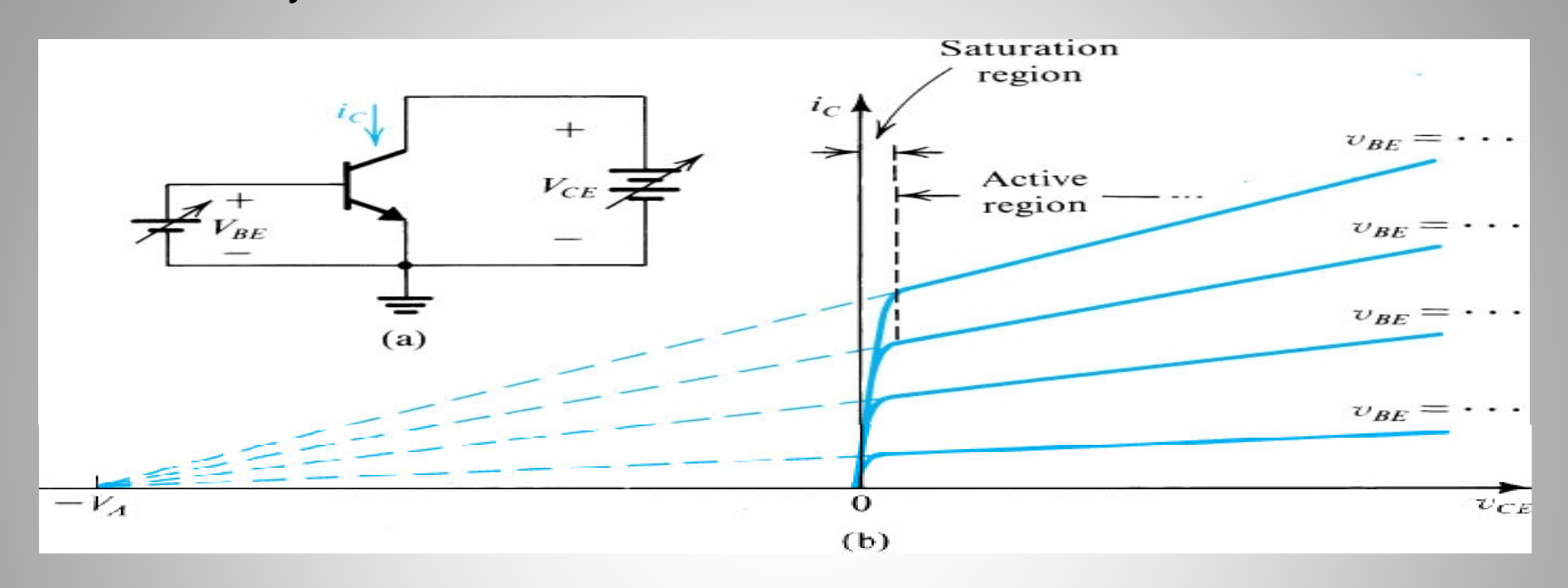
 α untuk sinyal besar = i_C/i_E yang merupakan penguatan arus common-base. α untuk sinyal kecil $\equiv \Delta i_C/\Delta i_E$.

Dengan menggunakan persamaan Ebers-Moll, untuk daerah jenuh: $i_F = I_F$:

$$i_{c} = \alpha_{E} I_{E} - I_{S} \left(\frac{1}{\alpha_{R}} - \alpha_{F} \right) e^{v_{BC} / v_{T}}$$

CBJ lebih besar dari EBJ, penurunan tegangan v_{BC} akan lebih kecil dari v_{BE} , sehingga menghasilkan tegangan v_{CE} jenuh pada $v_{CE} = 0.1 \text{ V} - 0.3 \text{ V}$.

Ketergantungan i_C pada tegangan collector – The Early effect



Gambar 19.(a): Rangkaian konseptual untuk mengukur karakteristik $i_C - v_{CE}$ dari sebuah BJT

(b): Karakteristik $i_C - v_{CE}$ dari sebuah BJT

Ketergantungan linier i_C terhadap v_{CE} :

$$i_{C} = I_{S} e^{V_{BE}} / V_{T} \left(1 + \frac{V_{CE}}{V_{A}} \right)$$

Koefiisien arah dari kurva $i_C - v_{CE}$ yang tidak nol menunjukkan bahwa resistansi keluaran dilihat ke arah collector mempunyai harga tertentu (

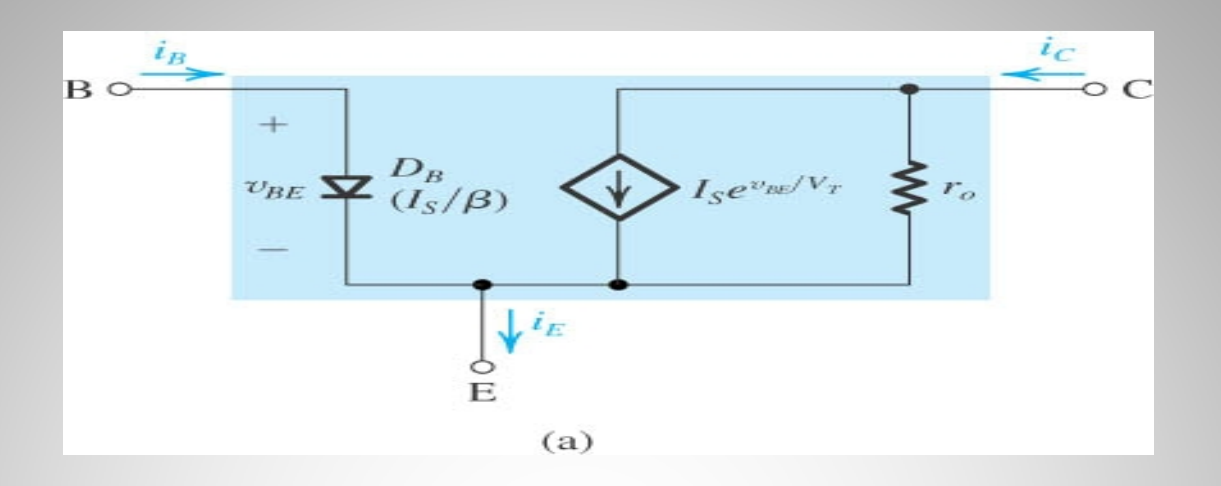
$$r_{o} \equiv \left[\begin{array}{ccc} \frac{\partial i_{C}}{\partial V_{CE}} \Big|_{V_{EE}} &= kons & tan \end{array}\right]^{-1}$$

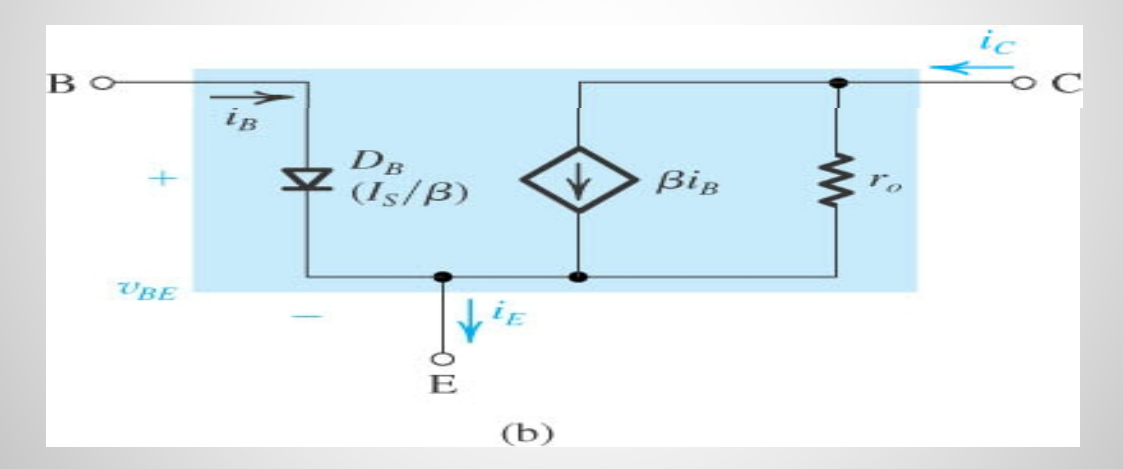
$$r_{o} = \frac{V_{A} + V_{CE}}{I_{C}}$$

 I_C dan v_{CE} adalah koordinat titik kerja BJT pada kurva $i_C - v_{CE}$.

$$I_{c} = \frac{V_{A}}{I_{c}}$$

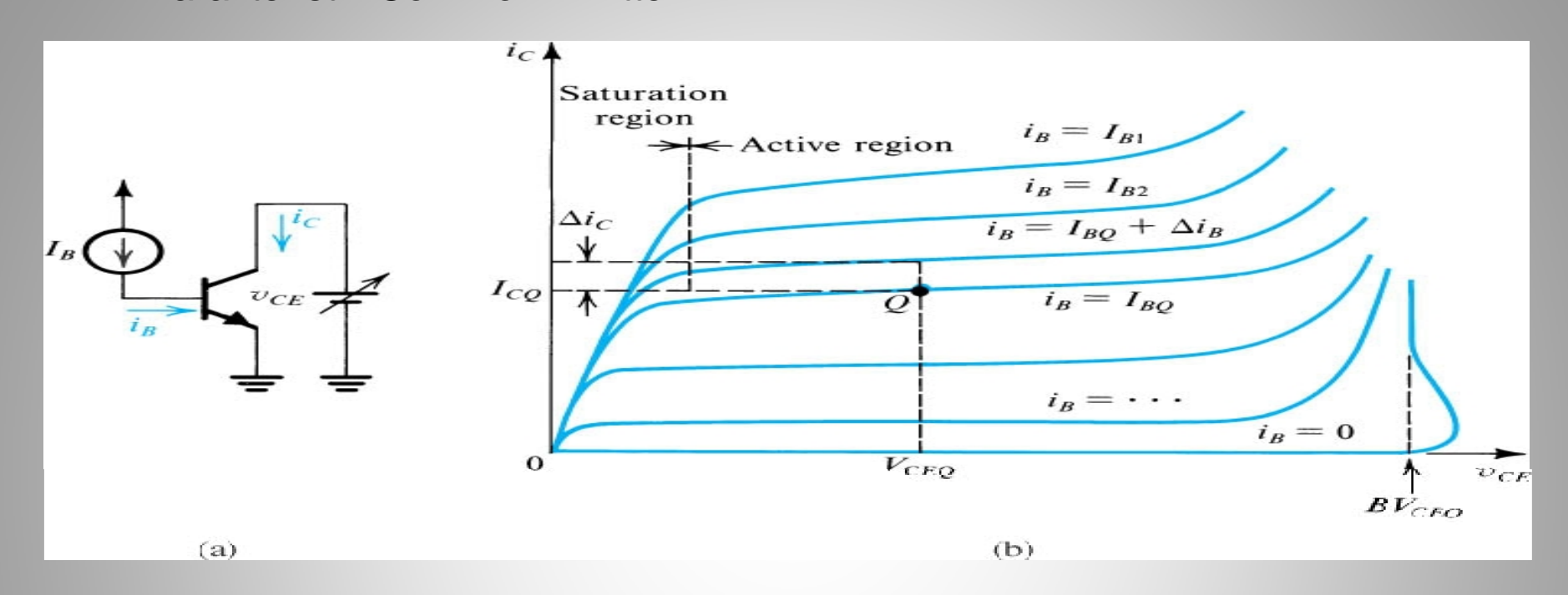
$$I_{c} = I_{s} e^{V_{BE}} N_{T}$$





Gambar 20: Model rangkaian pengganti sinyal besar dari BJT *npn* yang bekerja di daerah aktif dalam konfigurasi common-emitter.

Karakteristik Common-Emitter



Gambar 21: Karakteristik common-emitter

Penguatan arus common-emitter .

didefinisikan sebagai perbandingan antara total arus pada collector dan total arus pada base.

mempunyai harga yang konstan untuk sebuah transistor, tidak tergantung dari kondisi kerja.

Pada gambar 21, sebuah transistor bekerja pada daerah aktif di titik Q yang mempunyai arus collector I_{CQ} , arus base I_{BQ} dan tegangan collector — emitter V_{CEQ} . Perbandingan arus collector dan arus base adalah sinyal besar atau d \mathscr{C} . \mathscr{E}

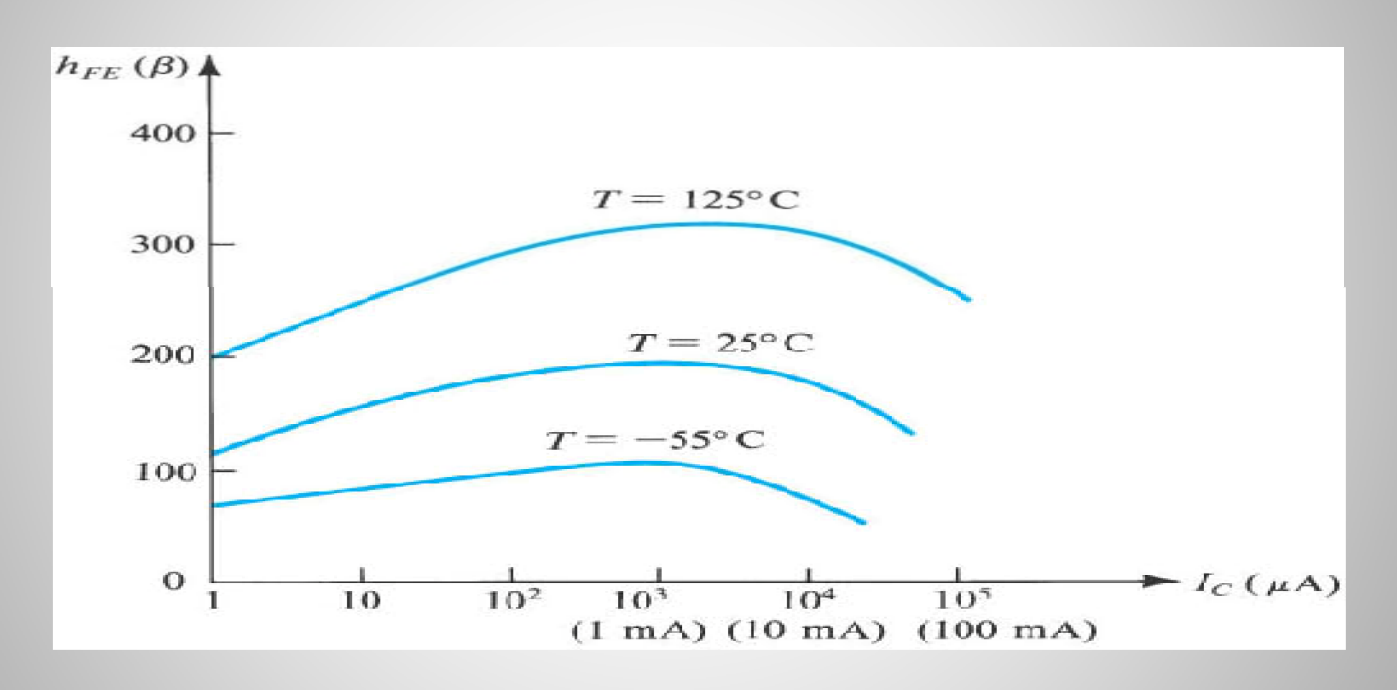
 $_{dc}$ juga dikenal sebagai h_{FE} .

Pada gambar 21 terlihat, dengan tegangan v_{CE} tetap perubahan i_B dari I_{BQ} menjadi $(I_{BQ} + i_B)$ menghasilkan kenaikan pada i_C dari I_{CQ} menjadi $(I_{CQ} + i_C)$

$$\beta$$
 ac $\equiv \frac{\Delta i_C}{\Delta i_B} \Big|_{v_{CE} = kons}$ tan

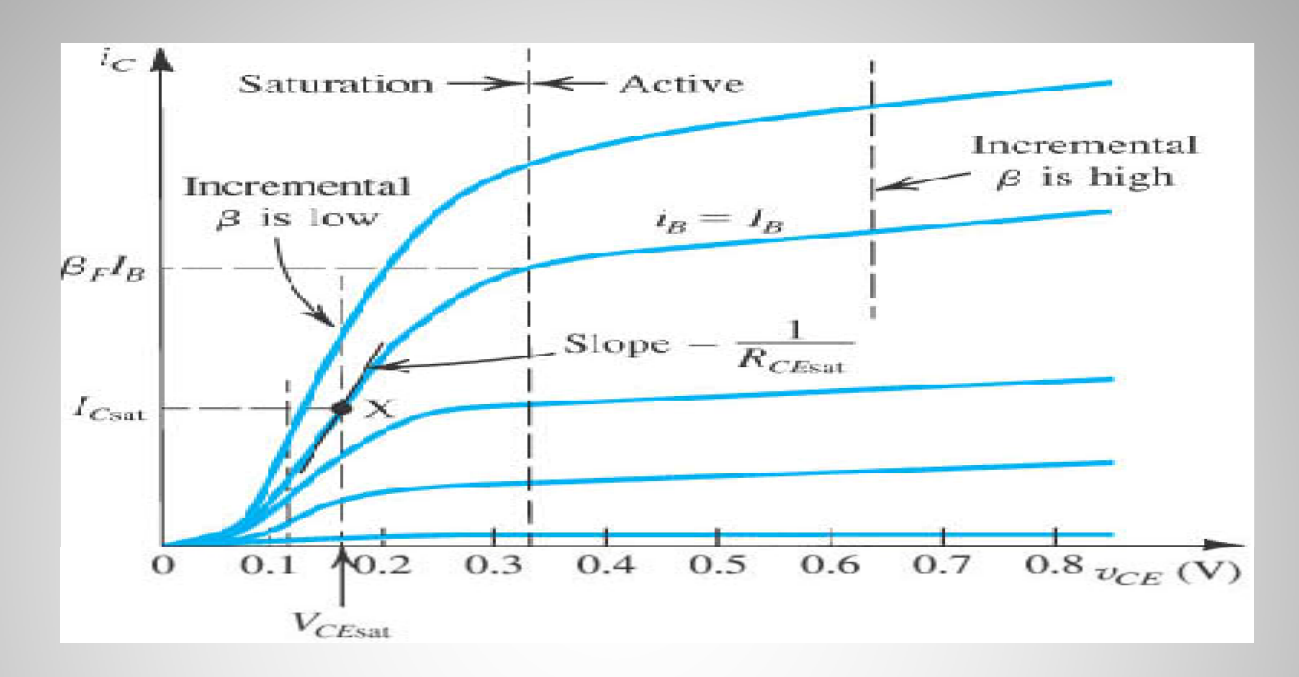
ac disebut 'incremental'.

 $_{ac}$ dan $_{dc}$ biasanya berbeda kira-kira 10% – 20%. $_{ac}$ disebut juga sinyal kecil yang dikenal juga dengan h_{fe} . sinyal kecil didefinisikan dan diukur pada v_{CE} konstan, artinya tidak ada komponen sinyal antara collector dan emitter, sehingga dikenal juga sebagai penguatan arus hubung singkat common-emitter.



Gambar 22: Ketergantungan pada I_C dan suhu

Tegangan jenuh V_{CEsat} dan Resistansi jenuh R_{CEsat}



Gambar 23: Karakteristik common-emitter pada daerah jenuh

Pada daerah jenuh kenaikan lebih kecil dibandingkan dengan di daerah aktif.

Perhatikan titik kerja X di daerah jenuh arus base I_B , arus collector I_{Csat} dan tegangan collector – emitter V_{CEsat} . $I_{Csat} < {}_{F}I_{B}$

Karena harga I_{Csat} ditentukan oleh perancang rangkaian, sebuah transistor jenuh dikatakan bekerja pada 'forced'

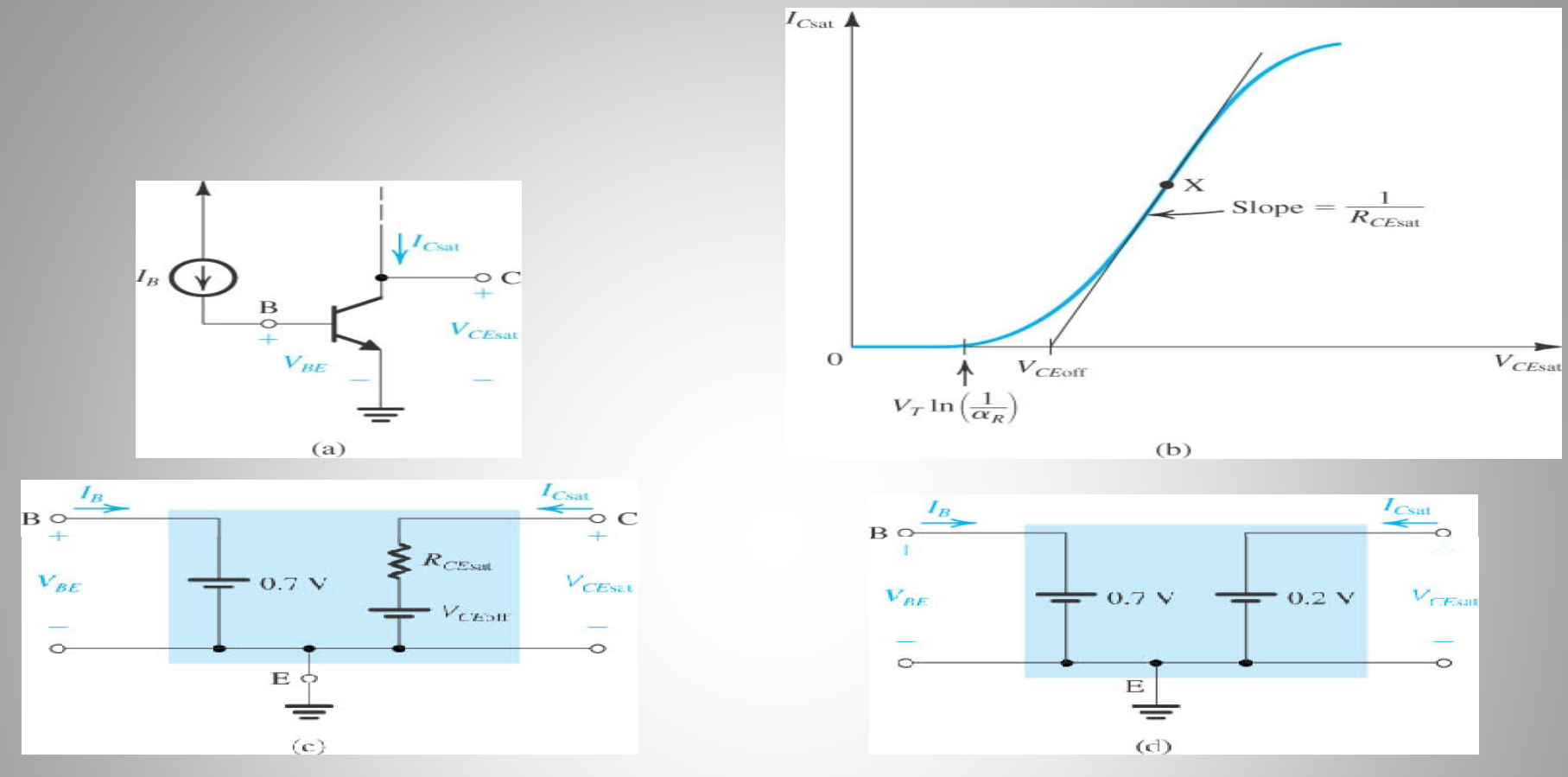
$$eta$$
 forced $\equiv \frac{I_{Csat}}{I_{B}}$

Perbandingan antara $_F$ dan $_{forced}$ disebut 'overdrive factor'. Makin besar 'overdrive factor', makin dalam transistor dipaksa ke daerah jenuh dan makin kecil V_{CFsat} .

Kurva $i_C - v_{CE}$ pada daerah jenuh cukup tajam menunjukkan bahwa transistor jenuh mempunyai resistansi collector – emitter, R_{CEsat} yang rendah:

$$R \quad CEsat \qquad \equiv \quad \frac{\partial \quad V \quad CE}{\partial \quad i \quad C} \bigg|_{\substack{i \quad B \quad = \quad I \quad B \\ i \quad C \quad = \quad I \quad Cast}}$$

 R_{CEsat} mempunyai harga berkisar beberapa ohm sampai beberapa puluh ohm.



Gambar 24. (a) transistor npn beroperasi pada mode jenuh dengan arus base yang tetap I_B .

- (b) Kurva karakteristik $i_C v_{CE}$ pada $i_B = I_B$ dengan koefisien arah $1/R_{CEsat}$.
- (c) Rangkaian ekivalen transistor jenuh
- (d) Model rangkaian ekivalen yang disederhanakan dari transistor jenuh

Perhatikan pada gambar (24.b):

- kurva memotong sumbu v_{CE} pada V_T In (1/ $_R$). Harga ini sama untuk semua kurva $i_C v_{CE}$
- tangent pada titik kerja X sama dengan $1/R_{CEsat}$. Jika diekstrapolasikan, tangent ini akan memotong sumbu v_{CE} pada tegangan V_{CEsat} yang mempunyai harga kira-kira 0,1V.

Pada gambar (24.c) pada sisi collector, transistor direpresentasikan dengan R_{CEsat} diserikan dengan sebuah batere V_{CEsat} . Jadi:

$$V_{CEsat} = V_{CEoff} + I_{Csat}R_{CEsat}$$

Harga V_{CEsat} berkisar antara 0,1V – 0,3V.

Tegangan offset pada transistor jenuh menyebabkan BJT kurang menarik untuk dijadikan saklar jika dibandingkan dengan MOSFET.

Gunakan model Ebers-Moll untuk menurunkan ekspresi analisis untuk karakteristik sebuah transistor jenuh.

$$i_B = \left(\frac{I_S}{\beta_F}\right) \left(e^{-v_BE} - v_T - 1\right) + \left(\frac{I_S}{\beta_R}\right) \left(e^{-v_BC} - v_T - 1\right)$$

Gantikan $i_B = I_B$ dan abaikan suku yang tidak mempunyai fungsi eksponensial

$$I_{B} = \frac{I_{S}}{\beta_{F}} e^{V_{BE}} + \frac{I_{S}}{\beta_{R}} e^{V_{BC}}$$

$$I_{C} = I_{S} e^{V_{BE}}$$

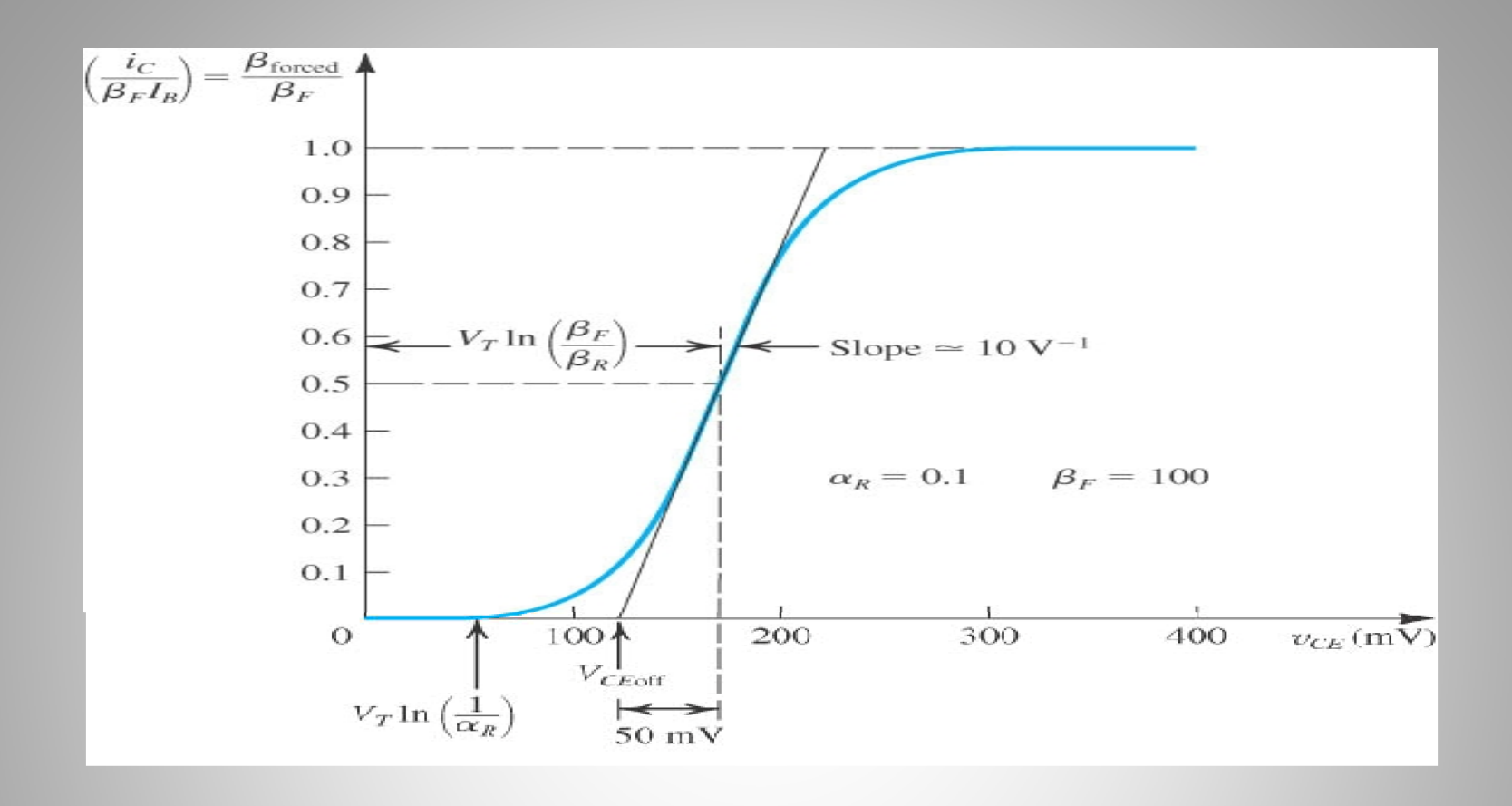
$$I_{C} = I_{S} e^{V_{BE}}$$

$$I_{C} = I_{S} e^{V_{BE}}$$

Bagilah persamaan I_B dengan persamaan i_C dan tulis $v_{BE} = v_{BC} + v_{CE}$, sehingga diperoleh:

$$i_{C} = \left(\beta_{F} I_{B}\right) \left(\frac{e^{V_{CE}} N_{T}}{e^{V_{CE}} N_{T}} + \frac{1}{\beta_{R}}\right)$$

Ini adalah persamaan kurva karakteristik $i_C - v_{CE}$ yang diperoleh jika base dipaksa dengan arus tetap I_B .



Gambar 25: Plot i_C (normalisasi) terhadap v_{CE} untuk transistor npn dengan $_E = 100$ dan $_R = 0,1$

Kurva dapat didekati dengan garis lurus pada titik forced F = 0,5. Koefisien arah pada titik ini kira-kira 10 V⁻¹, tidak tergantung dari parameter transistor.

$$R_{CEsat} = 1/10 _{F}I_{B}$$

Ganti
$$i_C = I_{Cslat} = forced l_B$$
 dan $\frac{V_{CE}}{I_{Cslat}} = \frac{I_{Cslat}}{I_{Cslat}} = \frac{I_$

Transistor breakdown

Tegangan maksimum yang dapat dipasangkan pada sebuah BJT dibatasi oleh efek breakdown pada EBJ dan CBJ.

Pada konfigurasi common-base, karakteristik $i_C - v_{CB}$ menunjukkan bahwa untuk $i_E = 0$ (emitter hubung terbuka), CBJ breakdown pada tegangan BV_{CBO} . Untuk $i_E > 0$, breakdown terjadi pada tegangan lebih kecil dari BV_{CBO} . Biasanya $BV_{CBO} > 50 \text{ V}$

Untuk konfigurasi common-emitter, breakdown terjadi pada tegangan BV_{CEO} . Harga BV_{CEO} kira-kira setengah harga BV_{CBO} . Pada lembaran data transistor, BV_{CBO} disebut 'sustaining voltage', LV_{CEO}

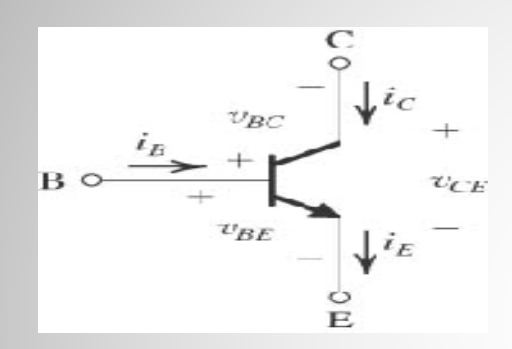
Breakdown pada CBJ baik pada konfigurasi common-emitter atau common-base tidak merusak selama daya disipasi pada divais masih dalam batas normal.

Breakdown pada EBJ yang disebabkan fenomena avalanche terjadi pada tegangan BV_{EBO} yang jauh lebih kecil dari BV_{CBO} . Biasanya BV_{EBO} berkisar antara 6 V – 8 V, dan breakdown ini merusak dalam arti dari transistor berkurang secara permanen. Cara ini tidak mencegah pemakaian EBJ sebagai sebuah dioda zener untuk menghasilkan tegangan rujukan dalam perancangan IC. Dalam aplikasi ini tidak dilihat sebagai efek - degeneration.

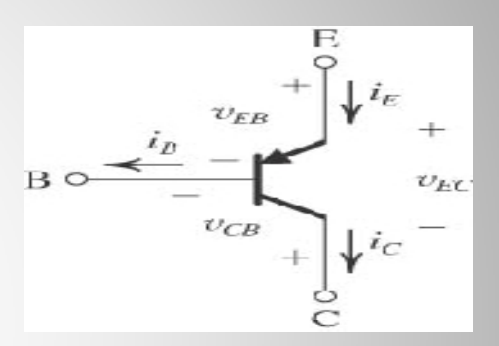
Ringkasan Karakteristik arus – tegangan dari BJT

Simbol rangkaian dan arah aliran arus

Transistor npn



Transistor pnp



Cara kerja pada mode aktif (untuk pemakaian sebagai penguat)

Kondisi:

1. EBJ forward biased:

npn:
$$v_{BE} > V_{BEon;} V_{BEon}$$
 0,5 V biasanya $v_{BE} = 0,7$ V pnp: $v_{EB} > V_{EBon}$; V_{EBon} 0,5 V biasanya $v_{FB} = 0,7$ V

2. CBJ reverse biased

npn:
$$v_{BC}$$
 V_{BCon} : V_{BCon} 0,4 V v_{CE} 0,3 V *pnp*: v_{CB} V_{CBon} : 0,4 V v_{EC} 0,3 V

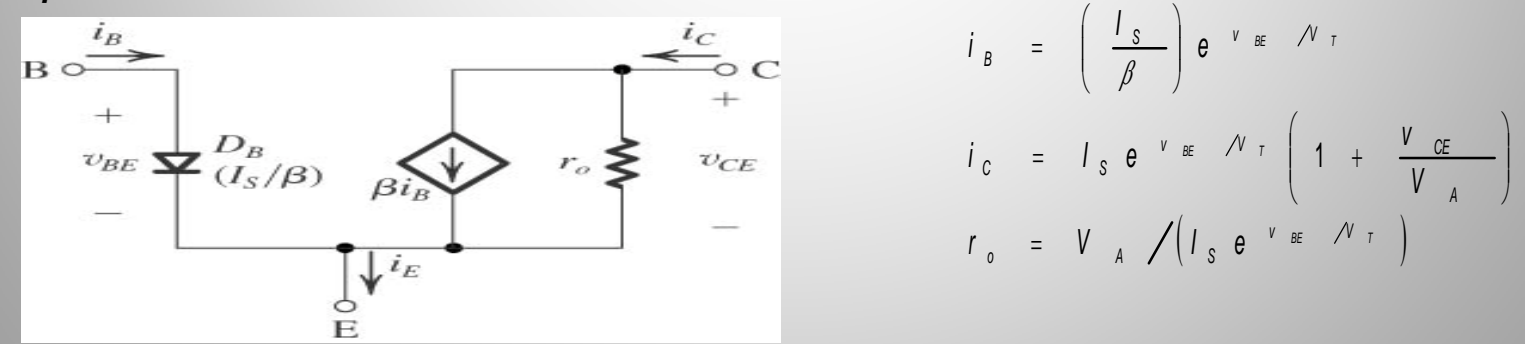
hµhungan aruse- tegangan: pnp: ic = 1s e v m / v ,

$$i_B = i_C / \beta \Leftrightarrow i_C = \beta i_B$$
 $i_E = i_C / \alpha \Leftrightarrow i_C = \alpha i_C$

$$\beta = \frac{\alpha}{1 - \alpha} \Leftrightarrow \alpha = \frac{\beta}{\beta + 1}$$

Model rangkaian ekivalen sinyal besar

npn:

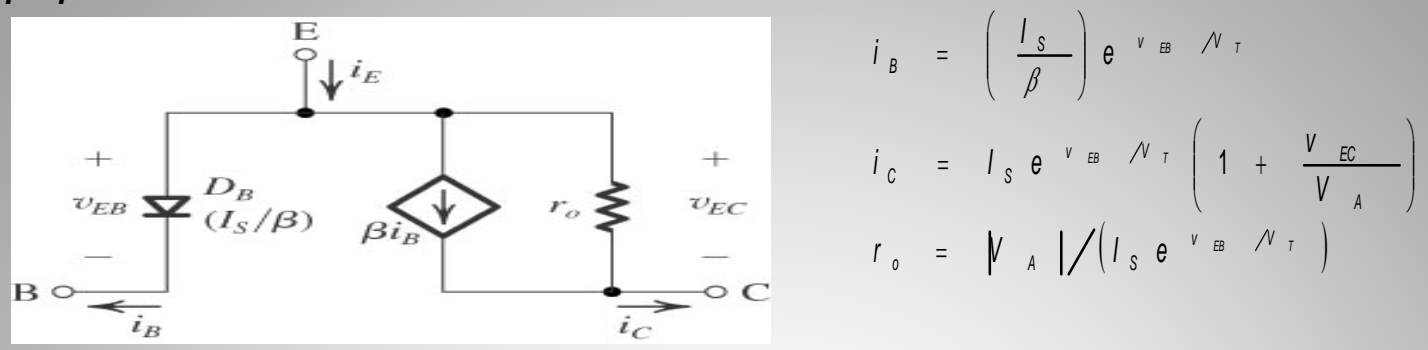


$$i_{B} = \left(\frac{I_{S}}{\beta}\right) e^{V_{BE}} \stackrel{N}{\nearrow} \tau$$

$$i_{C} = I_{S} e^{V_{BE}} \stackrel{N}{\nearrow} \left(1 + \frac{V_{CE}}{V_{A}}\right)$$

$$r_{o} = V_{A} / \left(I_{S} e^{V_{BE}} \stackrel{N}{\nearrow} \tau\right)$$

pnp

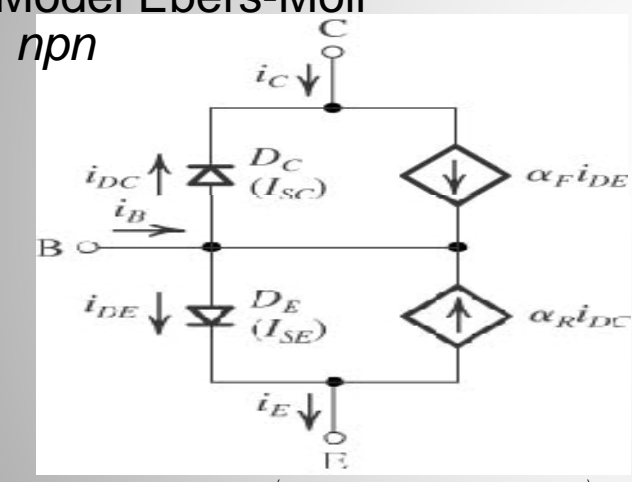


$$i_{B} = \left(\frac{I_{S}}{\beta}\right) e^{V_{EB}} / V_{T}$$

$$i_{C} = I_{S} e^{V_{EB}} / V_{T} \left(1 + \frac{V_{EC}}{V_{A}}\right)$$

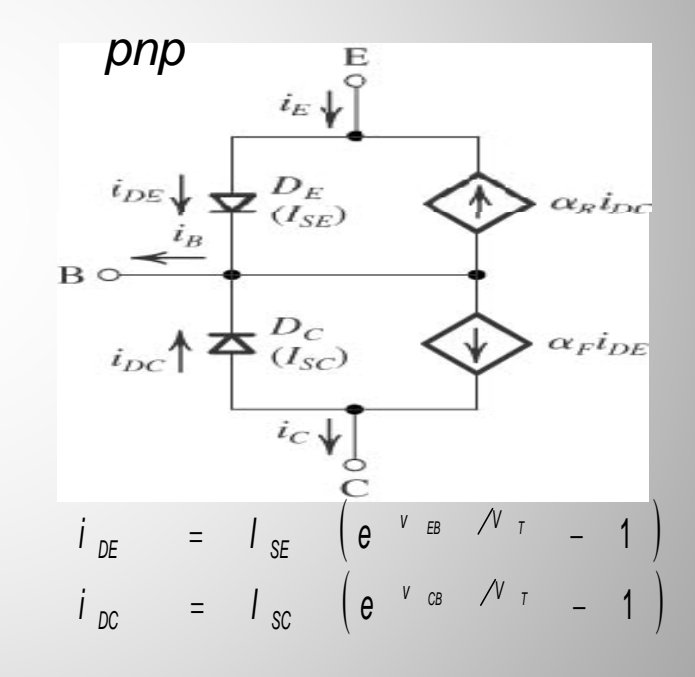
$$I_{O} = V_{A} \left[/ \left(I_{S} e^{V_{EB}} / V_{T}\right) \right]$$

Model Ebers-Moll



$$i_{DE} = I_{SE} \quad \left(e^{-\frac{V}{BE}} \right)^{\frac{1}{V}} - 1$$

$$i_{DC} = I_{SC} \quad \left(e^{-\frac{V}{BC}} \right)^{\frac{1}{V}} - 1$$



$$\alpha_{F} \mid_{SE} = \alpha_{R} \mid_{SC} = 1_{S}$$

$$\frac{1_{SC}}{1_{SE}} = \frac{\alpha_{F}}{\alpha_{R}} = \frac{\text{luas}}{\text{luas}} \quad \text{EBJ}$$

Cara kerja pada mode jenuh Kondisi:

1. EBJ forward biased:

npn:
$$v_{BE} > V_{BEon}$$
; $V_{BEon} = 0.5 \text{ V}$
biasanya $v_{BE} = 0.7 - 0.8 \text{ V}$
pnp: $v_{EB} > V_{EBon}$; $V_{EBon} = 0.5 \text{ V}$
biasanya $v_{EB} = 0.7 - 0.8 \text{ V}$

2. CBJ forward biased

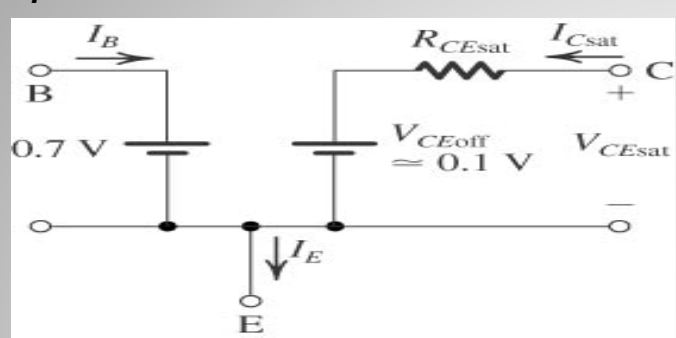
npn:
$$v_{BC}$$
 V_{BCon} : V_{BCon} 0,4 V biasanya: $v_{BC} = 0.5 - 0.6$ V $v_{CE} = V_{CEsat} = 0.1 - 0.2$ V pnp: v_{CB} V_{CBon} : V_{CBon} 0,4 V biasanya: $v_{CB} = 0.5 - 0.6$ V $v_{EC} = V_{ECsat} = 0.1 - 0.2$ V

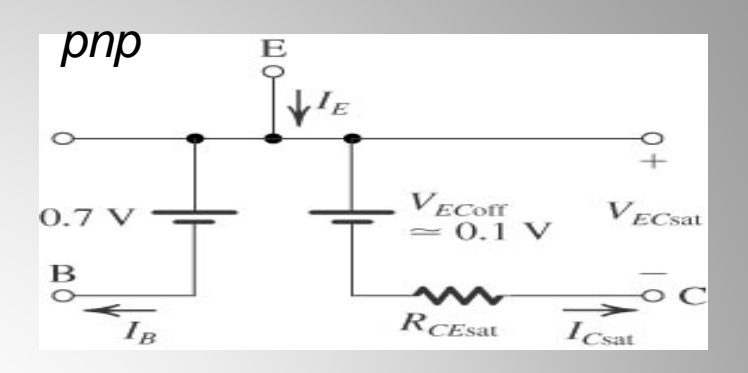
Arus:
$$I_{Csat} = f_{orced}I_{B}$$

$$\frac{\beta_F}{\beta_{forced}} = \text{Overdrive factor}$$

Rangkaian ekivalen

npn





$$V = V_T \quad \text{In} \quad \left[\begin{array}{cccc} \frac{1 + (\beta_{\text{forced}} + 1)/\beta_F}{1 - \beta_{\text{forced}}} \end{array} \right]$$

Untuk:
$$forced = \frac{1}{2}$$
; $R_{CEsat} = \frac{1}{10} F_{B}$